

01;05

Дисклинационная петля кручения в упругом шаре

© А.Л. Колесникова, А.Е. Романов

Институт проблем машиноведения РАН, Санкт-Петербург
E-mail: koles@def.ipme.ru; kolesnikovanna@yandex.ru
Физико-технический институт им. А.Ф. Иоффе РАН, Санкт-Петербург
Аристотелевский университет, Салоники
E-mail: aer@mail.ioffe.ru

Поступило в Редакцию 26 мая 2009 г.

Дано решение граничной задачи изотропной теории упругости для дисклинационной петли кручения, находящейся в сферическом теле. Решение построено с помощью метода виртуальных дефектов. В качестве виртуальных дефектов выбраны дисклинационные петли кручения, упругие поля которых представлены в виде разложений в ряды по полиномам Лежандра. Определены упругие поля и энергия в зависимости от положения дисклинационной петли в шаре.

PACS: 61.72.Lk, 61.46.Nk

Физико-механический отклик малых (в том числе и наноразмерных) кристаллических частиц и атомных кластеров на внешнее воздействие во многом определяется наличием в них структурных дефектов, например дислокаций и дисклинаций [1]. Упругие искажения, вносимые дефектами в кристаллическую решетку, зависят от экранировки свободной поверхностью, что для малых частиц становится определяющим фактором.

Наиболее простой физической моделью для исследования поведения дефектов в малых частицах является упругий шар, содержащий отдельный дефект. Однако даже в такой упрощенной постановке граничная задача теории упругости является по определению пространственной [2], что обуславливает трудность ее аналитического анализа. К настоящему моменту результаты получены только для весьма ограниченного набора проблем для дефектов в упругом шаре: в работе [3] дано решение осесимметричной задачи для призматической дислокационной петли, а в работах [4,5] найдены упругие поля и энергии прямолинейных клиновой дисклинации или винтовой дислокации, линии которых

совпадают с диаметром шара. Указанные решения найдены методом сферических гармоник, разработанным ранее для несингулярных задач теории упругости для тел со сферическими границами [2]. В данном сообщении мы приводим новое решение, полученное оригинальным методом виртуальных дефектов, для упругих полей и энергии дислокационной петли кручения (ДПК) в шаре.

Круговая ДПК представляет собой дефект, возникающий в результате взаимного разворота берегов кругового разреза с осью поворота нормальной плоскости разреза [6]. Такие дефекты важны как в физических приложениях, например при описании скручивания цепей в полимерах [7], так и в механических приложениях, например при прочностных расчетах для стержневых систем [8].

Впервые механические поля напряжений ДПК в бесконечной упругой среде были рассчитаны в работе [9], где дано представление через полные эллиптические интегралы. Позднее упругие поля ДПК были записаны в форме интегралов Лифшица–Ханкеля [10], ниже мы используем именно это представление. Отметим, что через интегралы Лифшица–Ханкеля могут быть выражены упругие поля круговых дислокационно-дислокационных петель общего типа [11,12]. К настоящему времени решены задачи об упругом поведении ДПК вблизи плоских границ раздела и в пластине конечной толщины [11–15]. Упругие поля и энергия ДПК в цилиндре найдены в работе [16].

В выбранной геометрии, показанной на рис.1, а, скачок смещений на поверхности разреза $[u_\varphi]$, полные смещения u_j и механические напряжения σ_{ij} ДПК в цилиндрических координатах r, φ, z могут быть представлены в следующем виде [11,12]:

$$[u_\varphi] \Big|_{z=z_0} = \omega r H \left(1 - \frac{r}{c} \right), \quad (1)$$

$$u_r = u_z = 0, \quad (2b)$$

$$u_\varphi = \frac{\omega c \operatorname{sgn}(z - z_0)}{2} J(2, 1; 0), \quad (2c)$$

$$\sigma_{r\varphi} = -\frac{G\omega \operatorname{sgn}(z - z_0)}{2} J(2, 2; 1), \quad (3a)$$

$$\sigma_{z\varphi} = -\frac{G\omega}{2} J(2, 1; 1), \quad (3b)$$

$$\sigma_{rr} = \sigma_{\varphi\varphi} = \sigma_{zz} = \sigma_{rz} = 0, \quad (3c, d, e, f)$$

где ω — величина вектора Франка $\boldsymbol{\omega} = -\omega \mathbf{e}_z$ ДПК, имеющей направление линии дефекта \mathbf{e}_φ (\mathbf{e}_φ и \mathbf{e}_z — координатные орты); c — радиус

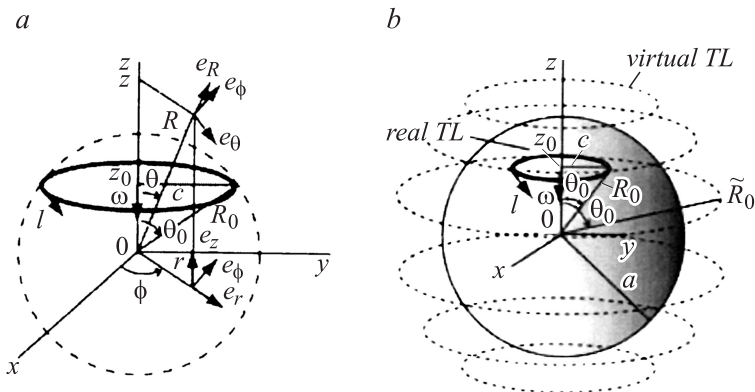


Рис. 1. Дисклинационная петля кручения ДПК (*real TL*) в упругом шаре радиусом a . Вектор Франка ДПК — $\omega = -\omega e_z$ и направление линии дефекта — $l = e_\varphi$. a — используемые системы координат: цилиндрическая r, φ, z и сферическая R, θ, φ . Штриховая линия показывает сферу радиусом R_0 . b — виртуальные ДПК (*virtual TL*), распределенные по сфере радиусом \tilde{R}_0 . Координаты линии: реальной ДПК — R_0, θ_0 , пробной виртуальной ДПК — $\tilde{R}_0, \tilde{\theta}_0$.

петли; $H(1 - \frac{z}{c})$ — функция Хевисайда; G — модуль сдвига; ν — коэффициент Пуассона; $J(m, n; p)$ — интегралы Лифшица–Ханкеля, зависящие от двух функций Бесселя $J_m(x)$ и $J_n(x)$:

$$J(m, n; p) = \int_0^\infty J_m(\kappa) J_n\left(\kappa \frac{r}{c}\right) e^{-\frac{\kappa|z-z_0|}{c}} \kappa^p d\kappa, \quad (4)$$

z_0 — координата ДПК.

Для решения граничных задач теории упругости со сферической геометрией удобно получить представление полей ДПК в сферических координатах R, θ, φ (рис. 1, a). С помощью подстановок $\gamma = \kappa/c$, $r = R \sin \theta$, $z = R \cos \theta$, $c = R_0 \cos \theta_0$, $z_0 = R_0 \cos \theta_0$, разделения экспоненты на две, разложения в ряд одной из Бесселевых функций с экспоненциальным весом и интегрирования почленно получившегося ряда, получаем интегралы Лифшица–Ханкеля в виде рядов с полиномами Лежандра. Перевод компонент полей из цилиндрической системы координат в сферическую, замена интегралов Лифшица–Ханкеля рядами по полиномам Лежандра, и, наконец, использование рекуррентных

соотношений для полиномов Лежандра приводят к следующей записи полей ДПК:

$$u_R = u_\theta = 0, \quad (5a, b)$$

$$u_\varphi = \frac{\omega R_0}{2} \times \begin{cases} (-1) \sum_{k=2}^{\infty} \frac{1}{k(k+1)(k+2)} \left(\frac{R_0}{R}\right)^{k+1} P_k^2(\cos \theta_0) \sin^2 \theta_0 P_k^1(\cos \theta), & R_0 < R, \\ \left(\frac{\operatorname{sgn}(z-z_0)R \sin \theta}{R_0} + \frac{R}{R_0} (\cos \theta_0 + \frac{1}{4} \sin 2\theta_0 \sin \theta) \right) \\ + \sum_{k=2}^{\infty} \frac{1}{(k-1)k(k+1)} \left(\frac{R}{R_0}\right)^k P_k^2(\cos \theta_0) \sin^2 \theta_0 P_k^1(\cos \theta), & R < R_0, \end{cases} \quad (5c)$$

$$\sigma_{R\varphi} = \frac{-G\omega}{2} \times \begin{cases} (-1) \sum_{k=2}^{\infty} \frac{1}{(k+1)k} \left(\frac{R_0}{R}\right)^{k+2} P_k^2(\cos \theta_0) \sin^2 \theta_0 P_k^1(\cos \theta), & R_0 < R, \\ (-1) \sum_{k=1}^{\infty} \frac{1}{(k+1)(k+2)} \left(\frac{R}{R_0}\right)^k P_{k+1}^2(\cos \theta_0) \sin^2 \theta_0 P_{k+1}^1(\cos \theta), & R < R_0, \end{cases} \quad (6a)$$

$$\sigma_{\theta\varphi} = \frac{-G\omega}{2} \times \begin{cases} \sum_{k=2}^{\infty} \frac{1}{k(k+1)(k+2)} \left(\frac{R_0}{R}\right)^{k+2} P_k^2(\cos \theta_0) \sin^2 \theta_0 P_k^2(\cos \theta), & R_0 < R, \\ (-1) \sum_{k=1}^{\infty} \frac{1}{k(k+1)(k+2)} \left(\frac{R}{R_0}\right)^k P_{k+1}^2(\cos \theta_0) \sin^2 \theta_0 P_{k+1}^2(\cos \theta), & R < R_0, \end{cases} \quad (6b)$$

$$\sigma_{RR} = \sigma_{\theta\theta} = \sigma_{\varphi\varphi} = \sigma_{R\theta} = 0, \quad (6c, d, e, f)$$

где $P_n^1(t)$ и $P_n^2(t)$ — присоединенные полиномы Лежандра, которые связаны с полиномами Лежандра $P_n(t)$ следующими соотношениями: $P_n^m(t) = (-1)^m (1-t^2)^{\frac{m}{2}} \frac{d^m}{dt^m} P_n(t)$, $m = 1, 2, 3, \dots$ [17].

Представление смещений ДПК через ряды с полиномами Лежандра (5с) естественным образом выявляет скачок смещений (1). За скачок оказывается ответствен первый член ряда (5с) при $R < R_0$. Таким образом, разложение смещений (2с) в ряд по полиномам Лежандра

позволяет выделить упругие смещения из полных. Найденные поля ДПК (5) и (6) в виде рядов с полиномами Лежандра дают возможность находить решения осесимметричных граничных задач в присутствии сферических поверхностей раздела.

Для решения граничной задачи об упругих полях ДПК в шаре применим метод виртуальных дефектов, где в качестве виртуальных дефектов также используются ДПК. Подробно метод описан в [11,12,16,18], а его применение к задачам о петлях в цилиндре дано в [16,19]. В рамках метода искомое поле реального дефекта вблизи свободной поверхности или интерфейса ищется в виде суммы поля дефекта в бесконечной среде и добавочного поля, которое позволяет удовлетворять заданным граничным условиям. Добавочное поле создается непрерывными распределениями виртуальных дефектов, а в случае осесимметричных задач — распределениями виртуальных дислокационных и дисклинационных петель. Число распределений соответствует числу заданных граничных условий. Граничные условия, записанные с помощью полей реального дефекта и полей виртуальных дефектов, представляют в виде интегральных уравнений. Для случаев плоских [12,16,18], цилиндрических [16,19] и клиновидных [20] границ интегральные уравнения с помощью соответствующих интегральных преобразований сводятся к алгебраическим относительно образов неизвестных функций распределений. Дальнейшее определение искомых полей, удовлетворяющих граничным условиям, не представляет труда.

В нашем случае на свободной поверхности шара на компоненты тензора напряжений накладываются следующие условия:

$$\sigma_{Rj} \Big|_{R=a} = 0, \quad i, j = R, \theta, \varphi, \quad (7)$$

где a — радиус шара. Следуя методу виртуальных дефектов, запишем поле напряжений ДПК в шаре ${}^s\sigma_{ij}$ в следующем виде:

$${}^s\sigma_{ij} = \sigma_{ij} + \int_0^\pi f(\tilde{\theta}_0) \sigma_{ij}^V \tilde{R}_0 \sin \tilde{\theta}_0 d\tilde{\theta}_0, \quad (8)$$

где $\sigma_{ij} = \sigma_{ij}(R, \theta, R_0, \theta_0)$ — напряжения реальной ДПК в бесконечной среде (6); $\sigma_{ij}^V = \sigma_{ij}^V(R, \theta, \tilde{R}_0, \tilde{\theta}_0)$ — напряжения пробной виртуальной ДПК в распределении, определяемые формулами (6); $\tilde{R}_0, \tilde{\theta}_0$ — сферические координаты пробной виртуальной ДПК (рис. 1, b).

Граничные условия (7) на свободной поверхности сфероида с учетом (8) запишутся в виде:

$$\sigma_{R\varphi} \Big|_{R=a} + \int_0^\pi f(\tilde{\theta}_0) \sigma_{R\varphi}^V \Big|_{R=a} \tilde{R}_0 \sin \tilde{\theta}_0 d\tilde{\theta}_0 = 0. \quad (9)$$

Принимая во внимание представления напряжений ДПК в виде рядов по полиномам Лежандра, можно переписать (9):

$$\begin{aligned} \frac{G\omega}{2} \sum_{k=2}^{\infty} \frac{1}{(k+1)k} \left(\frac{R_0}{a}\right)^{k+2} P_k^2(\cos \theta_0) \sin^2 \theta_0 P_k^1(\cos \theta) \\ + \frac{G\omega}{2} \sum_{k=1}^{\infty} \frac{1}{(k+1)(k+2)} \left(\frac{a}{\tilde{R}_0}\right)^k A_{k+1} P_{k+1}^1(\cos \theta) = 0, \quad (10) \end{aligned}$$

где $A_{k+1} = \int_0^\pi f(\tilde{\theta}_0) \tilde{R}_0 \sin^3 \tilde{\theta}_0 P_{k+1}^2(\cos \tilde{\theta}_0) d\tilde{\theta}_0$. Из уравнения (10) находим интегралы A_n приравниванием коэффициентов при одинаковых полиномах Лежандра:

$$A_n = - \left(\frac{\tilde{R}_0}{a}\right)^{n-1} \left(\frac{R_0}{a}\right)^{n+2} P_n^2(\cos \theta_0) \sin^2 \theta_0, \quad n = 2, 3, 4, \dots \quad (11)$$

Подставляя найденные A_n в (8), получаем искомое поле напряжений ДПК в шаре:

$$\begin{aligned} {}^s\sigma_{R\varphi} = -\frac{G\omega}{2} [\operatorname{sgn}(z - z_0) J(2, 2; 1) \sin \theta + J(2, 1; 1) \cos \theta] \\ - \frac{G\omega \sin^2 \theta_0}{2} \sum_{k=1}^{\infty} \frac{1}{(k+1)(k+2)} \left(\frac{R_0}{a}\right)^{k+3} \left(\frac{R}{a}\right)^k P_{k+1}^2(\cos \theta_0) P_{k+1}^1(\cos \theta), \quad (12a) \end{aligned}$$

$$\begin{aligned} {}^s\sigma_{\theta\varphi} = -\frac{G\omega}{2} [\operatorname{sgn}(z - z_0) J(2, 2; 1) \cos \theta - J(2, 1; 1) \sin \theta] \\ - \frac{G\omega \sin^2 \theta_0}{2} \sum_{k=1}^{\infty} \frac{1}{k(k+1)(k+2)} \left(\frac{R_0}{a}\right)^{k+3} \left(\frac{R}{a}\right)^k P_{k+1}^2(\cos \theta_0) P_{k+1}^2(\cos \theta). \quad (12b) \end{aligned}$$

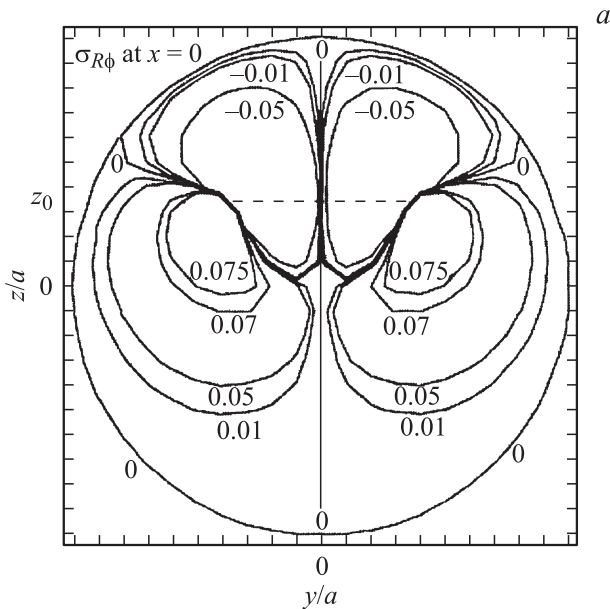


Рис. 2. Упругие характеристики дисклинационной петли кручения в шаре. a — напряжения ${}^s\sigma_{R\phi}$ в плоскости ZOY , $x = 0$, пунктирной линией обозначено место расположения петли. Напряжения выражены в единицах $G\omega/2$, G — модуль сдвига, ω — мощность петли (величина вектора Франка); все линейные величины выражены в единицах радиуса шара a ; b — энергия петли в зависимости от ее радиуса c при $a = 100b$ и координате петли $z_0 = a \cos \frac{\pi}{4} \approx 70.7b$; c — энергия петли радиуса $c = 40b$ в зависимости от ее осевого положения в шаре z_0 . На рис. b и c : 1 — энергия петли в бесконечной среде, 2 — энергия петли в шаре. Радиус ядра петли $r_c = b$, энергия выражена в единицах $G\omega^2 b^3$, b — характерная величина вектора Бюргера дислокации в данном материале.

Напряжения ${}^s\sigma_{ij}$ удовлетворяют граничным условиям (7) и уравнениям равновесия, которые для ДПК, обладающей только двумя ненулевыми и осесимметричными компонентами напряжений, вырождаются в одно уравнение: $\frac{\partial \sigma_{R\phi}}{\partial R} + \frac{\sigma_{\theta\phi}}{R\partial\theta} + \frac{3\sigma_{R\phi} + 2\sigma_{\theta\phi} \operatorname{ctg}\theta}{R} = 0$.

На рис. 2, a показаны распределения напряжений ДПК в шаре. Отметим тот факт, что для однозначного определения полей смещений

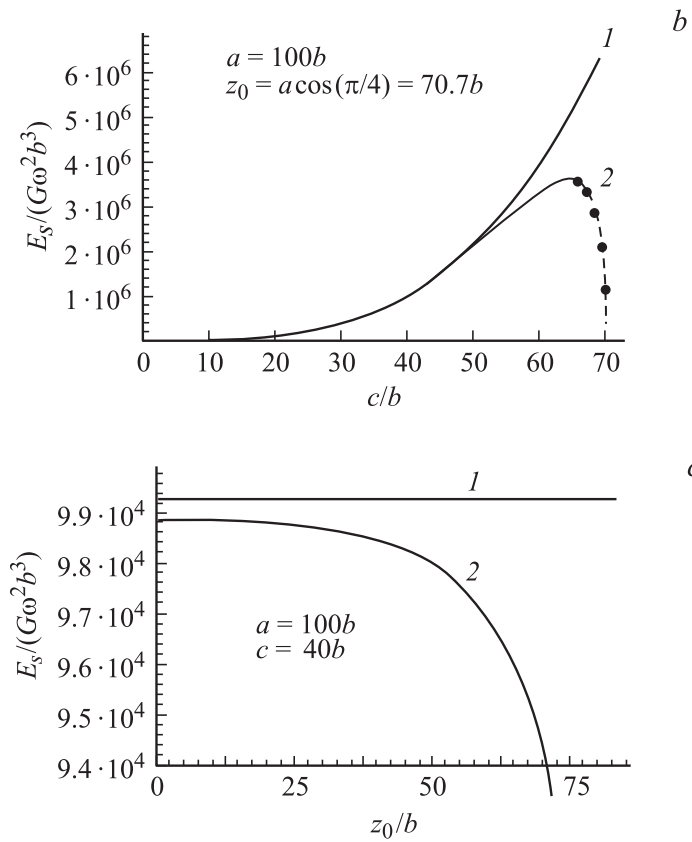


Рис. 2 (продолжение).

реального детекта в сфере или цилиндре с помощью метода виртуальных дефектов необходимо учитывать следующее: 1) поля смещений петель содержат скачок, который обусловлен способом введения петли в упругое пространство; 2) необходимо вычесть из полей смещений от распределений виртуальных петель их скачки либо использовать виртуальные петли, которые не содержат скачков смещений в области решения граничной задачи.

Знание полей напряжений позволяет определить упругую энергию ДПК в шаре по формуле:

$$\begin{aligned}
 E_s &= -\frac{1}{2} \int_0^{2\pi} \int_0^{c-r_0} [u_\varphi]^s \sigma_{z\varphi} \Big|_{z=z_0} r dr d\varphi \\
 &= \frac{G\omega^2 R_0^3 \sin^3 \theta_0}{2} \left(\ln \frac{8R_0 \sin \theta_0}{r_c} - \frac{8}{3} \right) + \frac{G\omega^2 \pi R_0^3 \sin^2 \theta_0}{2} \\
 &\quad \times \sum_{k=1}^{\infty} \frac{(\cos \theta_0)^{k+3}}{k(k+1)} \left(\frac{R_0}{a} \right)^{2k+3} P_{k+1}^2(\cos \theta_0) \int_0^{\theta_0} \frac{(\sin \theta)^2}{(\cos \theta)^{k+4}} P_k^1(\cos \theta) d\theta,
 \end{aligned} \tag{13}$$

где член вне ряда — это энергия ДПК в бесконечной среде, r_c — радиус ядра ДПК. На рис. 2, *b, c* представлены зависимости энергии ДПК в шаре от радиуса петли и от осевого положения ДПК при фиксированном значении радиуса петли c .

Из энергетических зависимостей видно, что петля имеет критический радиус, при котором ее энергия максимальна. Этот радиус достаточно близок к радиусу шара. При размере петли, большем критического, она имеет тенденцию к расширению и выходу на поверхность (рис. 2, *b*). Из графика на рис. 2, *c* видно, что вдоль оси z на ДПК действует сила притяжения к поверхности шара.

Таким образом, в настоящей работе впервые получено решение граничной задачи теории упругости для дисклинационной петли кручения в шаре. Решение построено с помощью представления полей (смещений и напряжений) дисклинационной петли в виде сферических гармоник, т. е. в виде рядов по присоединенным полиномам Лежандра.

Работа выполнена при поддержке Российского фонда фундаментальных исследований и программы Еврокомиссии Мари Кюри.

Список литературы

- [1] Gryaznov V.G., Trusov L.I. // Prog. Mat. Sci. 1993. V. 37. P. 289.
- [2] Лурье А.И. Теория упругости. М.: Наука, 1970.
- [3] Willis J.R., Bullough B., Stoneham A.M. // Phil. Mag. A. 1983. V. 48. P. 95.

- [4] *Polonsky I.A., Romanov A.E., Gryaznov V.G., Kaprelov A.M.* // Czech. J. Phys. 1991. V. 41. P. 1249.
- [5] *Polonsky I.A., Romanov A.E., Gryaznov V.G., Kaprelov A.M.* // Phil. Mag. A. 1991. V. 64. P. 281.
- [6] *Владимиров В.И., Романов А.Е.* Дисклинации в кристаллах. Л.: Наука, 1986.
- [7] *Li J.C.M., Gilman J.J.* // J. Appl. Phys. 1970. V. 41. P. 4248.
- [8] *Sackfield A., Barber J.R., Hills D.A., Truman C.E.* // Europ. J. Mech. 2002. V. 21. P. 73.
- [9] *Owen D.R.J., Mura T.* // J. Appl. Phys. 1967. V. 38. P. 2818.
- [10] *Kuo H.H., Mura T.* // J. Appl. Phys. 1972. V. 43. P. 1454.
- [11] *Колесникова А.Л., Романов А.Е.* Круговые дислокационно-дисклинационные петли и их применение к решению граничных задач теории дефектов. Л.: ФТИ, препринт № 1019, 1986.
- [12] *Колесникова А.Л., Романов А.Е.* // ФТТ. 2003. Т. 45. В. 9. С. 1626.
- [13] *Chou T.W.* // J. Appl. Phys. 1971. V. 42. P. 4092.
- [14] *Kuo H.H., Mura T.* // J. Appl. Phys. 1972. V. 43. P. 3936.
- [15] *Kuo H.H., Mura T., Dundurs J.* // Int. J. Eng. Sci. 1973. V. 11. P. 193.
- [16] *Kolesnikova A.L., Romanov A.E.* // J. Appl. Mech. 2004. V. 71. N 3. P. 409.
- [17] *Бейтмен Г., Эрдейн А.* // Высшие трансцендентные функции. Ч. I. М.: Наука, 1973.
- [18] *Колесникова А.Л., Романов А.Е.* // Письма в ЖТФ. 1987. Т. 13. В. 11. С. 656.
- [19] *Колесникова А.Л., Романов А.Е.* // Письма в ЖТФ. 2007. Т. 33. В. 20. С. 73.
- [20] *Hecker M., Romanov A.E.* // Mater. Sci. Eng. A. 1993. V. 164. N 1–2. P. 411.